

# COMPARAÇÃO ENTRE DADOS EXPERIMENTAIS PROVENIENTES DA CARACTERIZAÇÃO ISOTÓPICA DE COMBUSTÍVEIS NUCLEARES IRRADIADOS COM AQUELES OBTIDOS UTILIZANDO-SE O CÓDIGO COMPUTACIONAL ORIGEN-2

Jorge Eduardo de Souza Sarkis , Cláudio Rodrigues

IPEN-CNEN/SP  
CAIXA POSTAL 11049  
CEP 05422-970 , SÃO PAULO , S.P., BRASIL  
e-mail : jesarkis@net.ipen.br

## RESUMO

No ciclo do combustível códigos computacionais são largamente empregados no estudo da composição isotópica, queima e depleção de combustíveis nucleares irradiados.

Neste trabalho utilizou-se o código ORIGEN 2 na caracterização isotópica de 9 amostras de combustíveis nucleares irradiados, com uma queima na faixa de 15,6 a 31,8Gwd/t provenientes do reator de potência da central nuclear de Obrigheim.

Os resultados encontrados foram comparados com aqueles obtidos por meio de análises destrutivas utilizando-se as técnicas de espectrometria de massas, espectrometria alfa e espectrometria gama. Serão discutidos dados de composição e concentração isotópica para os isótopos dos principais elementos actinídeos e produtos de fissão presentes no combustível nuclear após sua irradiação.

## INTRODUÇÃO

Códigos computacionais são largamente empregados em toda extensão do ciclo do combustível nuclear quer na avaliação e previsão do comportamento do combustível quer na definição de procedimentos para o tratamento químico e salvaguardas do material nuclear.

Em estudos de física de reatores servem para simulação de ciclos de irradiação e cálculo da queima de combustíveis nucleares irradiados. Em centrais nucleares auxiliam na avaliação tanto da queima como da reatividade dos elementos combustíveis irradiados a serem armazenados nos tanques de resfriamento. Em laboratórios de análises de elementos combustíveis pós-irradiados, assim como em centrais de reprocessamento, juntamente com dados obtidos por meio de técnicas analíticas destrutivas e não destrutivas, fornecem informações para caracterização isotópica destes materiais.

Código Computacional ORIGEN 2 . O código ORIGEN 2 [1] foi desenvolvido no final da década de 70 pelo Oak Ridge National Laboratory, Estados Unidos, como um aperfeiçoamento do código ORIGEN[2] sobre o qual possui diversas vantagens das quais podemos citar:

- variações das seções de choque dos principais nuclídeos com a queima durante a irradiação;
- tabelas de constantes nucleares atualizadas;
- energia por fissão específica para cada nuclídeo fissil;
- permite uma maior variedade de ciclos de combustíveis;

-possibilidade de um detalhamento do ciclo do combustível;  
-especifica fatores de separação para o reprocessamento para cada elemento individualmente.

O seu banco de dados contém dados nucleares concernentes a 130 actinídeos, 850 produtos de fissão e 720 produtos de ativação provenientes das bibliotecas ENDF/B-V [3] e ENDF/B-IV[4] desenvolvidas pelo National Neutron Cross Section Center, Brookhaven National Laboratory, Estados Unidos. O espectro de nêutrons foi calculado pela combinação do espectro estático XSDRNPM[5] e o código multidimensional de depleção CITATION[6]. A formação ou desaparecimento de um dado nuclídeo por transmutação, fissão ou decaimento durante um ciclo de irradiação é calculada usando um modelo pontual para resolução das equações não levando-se em consideração outros efeitos espaciais, efeitos de ressonância de alto absorção ou mudanças no espectro de nêutrons senão aqueles já estabelecidos previamente em seu banco de dados.

Por meio deste código a taxa na qual a concentração de um dado nuclídeo "i" muda durante um período de irradiação é descrita por meio de um sistema acoplado de equações diferenciais do tipo:

$$\frac{dX_i}{dT} = \sum_{j=1}^N l_j h_j x_j + \phi \sum_{k=1}^N f_{ik} \sigma_k x_k - (h_i + \phi \sigma_i + r)x_i + F_i \quad (1)$$
$$i = 1, 2, \dots, N,$$

onde:

$x_i$  = densidade atômica do nuclídeo  $i$ ;

$T$  = período de irradiação;

$N$  = número de nuclídeos presentes;

$l_{ij}$  = fração de desintegração radioativa de outros nuclídeos que levam a formação do nuclídeo "i";

$h_i$  = constante de decaimento radioativo do nuclídeo "i";

$\phi$  = fluxo médio de nêutrons ponderados na posição e energia;

$f_{ik}$  = fração de nêutrons que quando absorvidos por outros nuclídeos levam a formação do nuclídeo "i";

$\sigma_k, \sigma_i$  = seção de choque média de absorção de nêutrons do nuclídeo "k" e "i", respectivamente;

$r_i$  = taxa de remoção contínua do nuclídeo "i";

$F_i$  = taxa de alimentação contínua do nuclídeo "i"

Durante o ciclo de irradiação existirão " $n$ " equações do tipo acima descritas para os " $n$ " nuclídeos presentes. A solução deste sistema de equações diferenciais é feita pelo método de matriz exponencial, descrito detalhadamente por Croff [6], e fornece a quantidade de cada nuclídeo presente.

Devido a grande versatilidade e volume de informações fornecidas, o código ORIGEN 2 encontra diferentes aplicações no ciclo do combustível nuclear dentre as quais destacam-se projetos e operações de instalações nucleares;

- cálculos de calor de decaimento em piscinas de resfriamento de combustíveis nucleares irradiados;
- cálculos de espectros de irradiação gama utilizados na avaliação e projetos de blindagens para laboratórios e cascos de transporte de material nuclear irradiado;
- projetos de plantas de reprocessamento e depósitos de rejeitos radioativos;
- análises de risco;
- projeção de composição e características de rejeitos radioativos.

## OBJETIVOS

Este trabalho tem como objetivo demonstrar o potencial do código computacional ORIGEN 2 na caracterização isotópica de combustíveis nucleares irradiados e previsão de formação de elementos actinídeos e produtos de fissão.

## PARTE EXPERIMENTAL

A parte experimental deste trabalho foi realizada junto ao grupo de radioquímica e análises isotópicas do Institut für Transuranium Elements, EURATOM, Karlsruhe, Alemanha Ocidental.

Os dados experimentais utilizados foram obtidos durante a caracterização isotópica de amostras de combustíveis nucleares irradiados provenientes de uma campanha de reprocessamento de dois elementos combustíveis pertencentes ao reator nuclear de potência a água pressurizada, da Central Nuclear de Obrigheim, com 350 MWe de potência, Alemanha Ocidental [8].

Para o estudo desenvolvido neste trabalho foram selecionadas 3 varetas do elemento combustível designado pela sigla BE-124 e uma vareta do elemento combustível designada pela sigla BE-120. Ambos os elementos combustíveis são formados por 180 varetas com enriquecimento em  $^{235}\text{U}$  de 3% e 2,83%, respectivamente.

Na Figura 1 tem-se o diagrama esquemático do núcleo do reator e a posição dos elementos combustíveis em estudo durante os ciclos de irradiação a que foram submetidos.

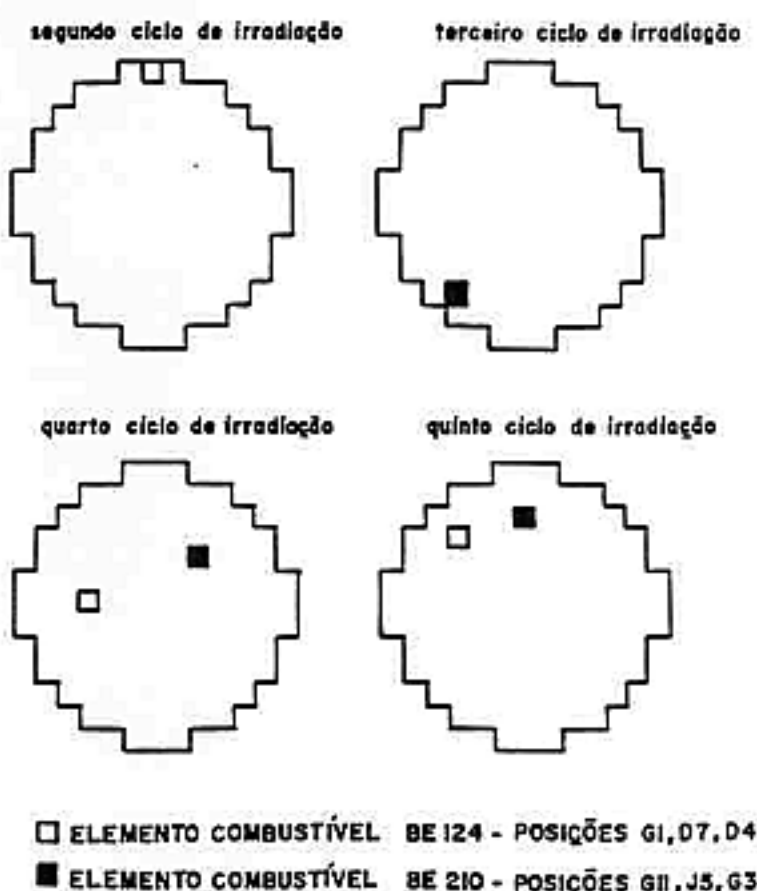


Figura 1. Diagrama esquemático do núcleo reator de Obrigheim.

A Figura 2 mostra a localização das varetas dentro de cada elemento combustível e na Figura 3 as posições de corte de cada vareta.

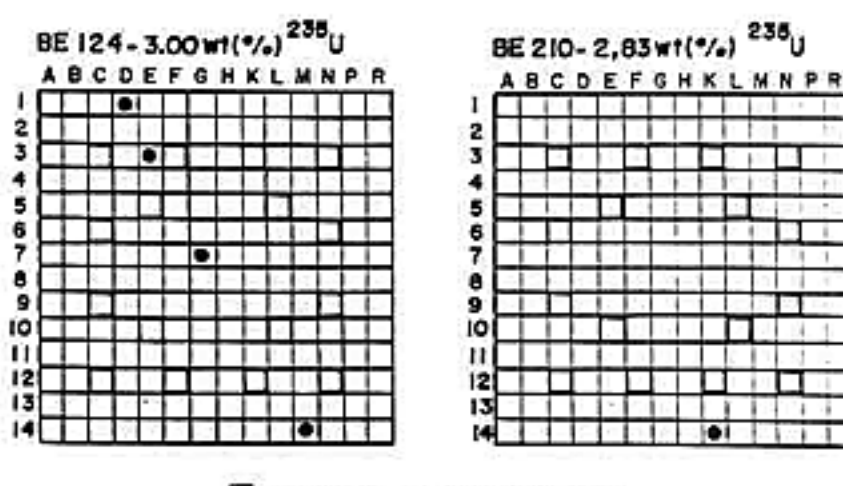


Figura 2 - Localização das varetas dentro de cada elemento combustível.

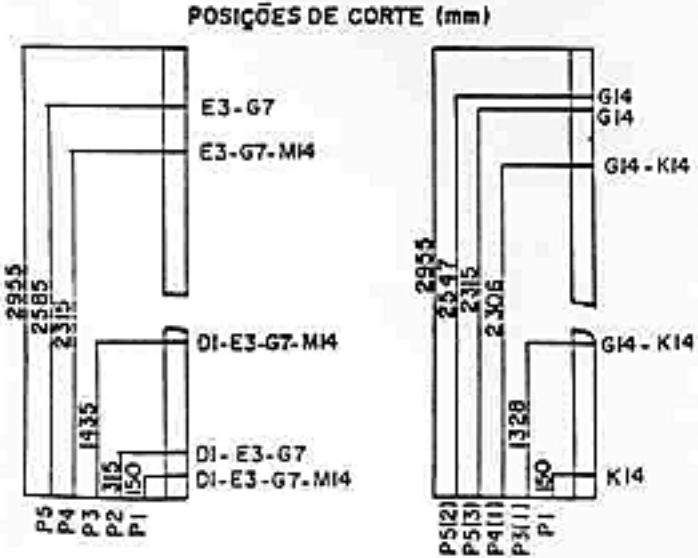


Figura 3 - Posições de corte de cada vareta.

As amostras utilizadas podem ser identificadas na Figura 3 por meio das seguintes siglas: M14P1R1-744, G7P1R2-741, M14P4R1-745, G7P5R1-743, E3P2R1-739, E3P4R2-740, G7P3R2-742, K14P4R1-747. De modo a simplificar a nomenclatura será adotado no texto somente a sigla numérica.

**Simulação do Histórico de Irradiação das amostras em estudo por meio do Código Computacional ORIGEN 2.** Além de informações básicas tais como tipo de reator, enriquecimento inicial, composição do elemento combustível e tempo de irradiação, a utilização de códigos computacionais exige um conhecimento detalhado do histórico de irradiação a que a amostra foi submetida.

Neste trabalho a simulação de irradiação foi feita a partir dos valores de queima e razão isotópica  $^{148}\text{Nd}/^{238}\text{U}$  obtidos experimentalmente, dos dados fornecidos pela central de Obrigheim, da interpretação gráfica do histórico de irradiação, Tabela 1, apresentado na Figura 4 [7], desconsiderando-se pequenos transientes de potência.

De modo a exemplificar os procedimentos adotados considere-se, por exemplo, a amostra 742 do elemento combustível BE-124.

Pela análise dos dados da figura 4 tem-se que este elemento combustível foi submetido as seguintes taxas de irradiação.

POTÊNCIA	TEMPO DE IRRADIAÇÃO (DIAS)
100	770
90	42
80	37
60	67
50	4
30	10

Desse modo a taxa de potência relativa (TPR) é dada por:

$$\text{TPR} = 700 \cdot 2x11 + 42 \cdot 2x10,90 + 37 \cdot 2x10,80 + 67 \cdot 2x10,60 + 4 \cdot 2x10,50 + 67 \cdot 2x10,30 = 882,6, \quad (2)$$

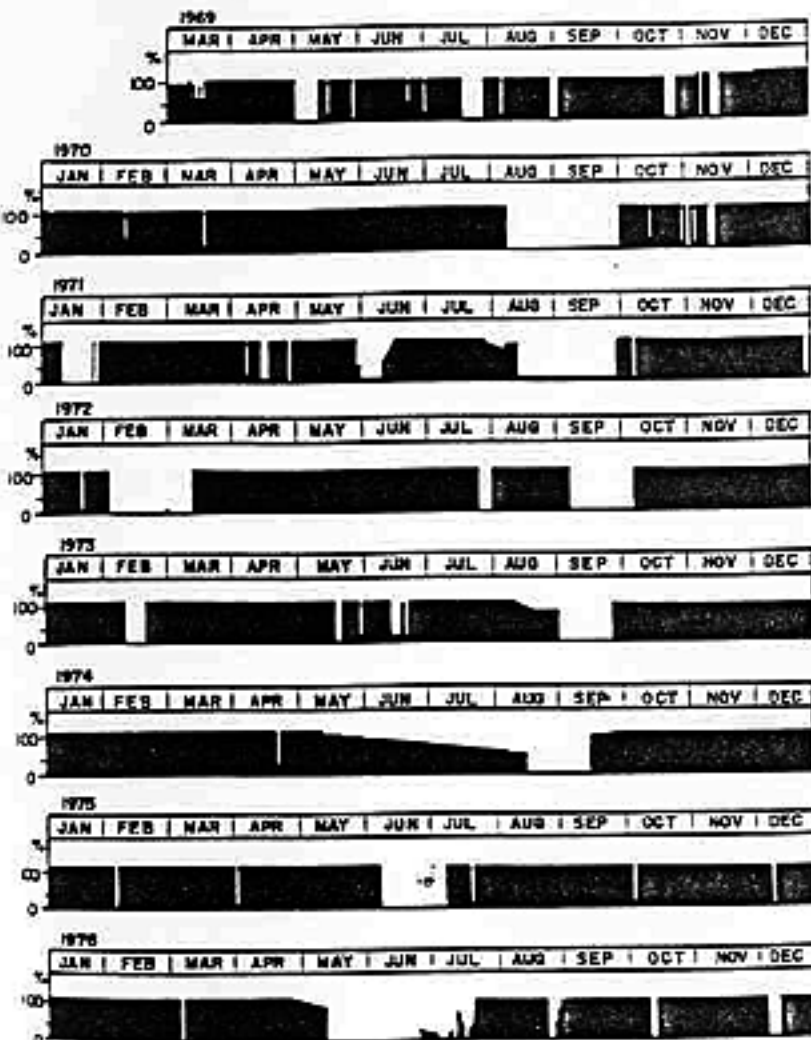


Figura 4 - Histórico de irradiação do reator de Obrigheim entre 1969 e 1976.

Como para esta amostra o valor da queima obtido experimentalmente foi de 31832 Mwd/t [9], calcula-se um fator de potência (FP) dividindo-se o valor experimental da queima pela taxa de potência relativa. No exemplo em questão tem-se:

$$FP = 31832,3 / 882,6 = 36,07 \quad (3)$$

TABELA 1. Interpretação do histórico de irradiação dos elementos combustíveis BE-120 e BE-124 .

ELEMENTO COMBUSTÍVEL			
BE-120		BE-124	
Tempo de Irradiação (Dias)	Potência (%)	Tempo de Irradiação (Dias)	Potência (%)
30	100	5	100
5	0	2	0
8	100	101	100
4	0	1	0
60	100	13	100
9	0	43	0
77	100	135	100
8	0	5	0
40	100	35	100
5	80	28	0
43	100	131	100
5	0	5	0
5	80	83	100
17	90	6	0
420	0	25	100
131	100	10	30
5	0	39	100
88	100	27	85
6	0	24	0
25	100	229	100
10	0	25	90
40	100	13	85
27	80	54	78
24	0	5	50
229	100		
25	90		
67	80		
4	50		

Dessa forma estabelece-se a seguinte correspondência:

POTÊNCIA	FP
100	36,07
90	32,45
80	28,86
60	21,42
50	18,03
30	10,82

Os dados acima são inseridos na estrutura do programa ORIGEN 2 ajustando-os até que a razão isotópica  $^{148}\text{Nd}/^{238}\text{U}$  esteja de acordo com o valor obtido experimentalmente. Os valores para 100% de potência e razão isotópica  $^{148}\text{Nd}/^{238}\text{U}$  encontrados para as amostras foram:

Amostra	FP	$^{148}\text{Nd}/^{238}\text{U}$ ( $\times 10^{-4}$ )
739	32,66	5,305
740	35,71	5,888
741	24,50	3,436
742	36,07	5,911
743	29,75	4,905
744	17,98	2,900
745	28,75	4,706
747	37,20	7,096

## RESULTADOS E DISCUSSÃO

Na literatura internacional existem diversos trabalhos em que dados teóricos são comparados com valores experimentais [10, 11, 12] todavia, códigos computacionais não específicos, como o código ORIGEN2, possuem limitações na comparação direta com dados de composição e concentração isotópica com aqueles provenientes de um trabalho experimental. Isto deve-se ao fato de não levarem em consideração problemas ocasionais de dissolução e contaminação das amostras, características individuais de cada amostra em estudo tais como: variações temporais e locais no fluxo de energia de nêutrons, dimensões do encamisamento e da pastilha do combustível e, principalmente, devido à imprecisões nos dados nucleares e na interpretação do histórico de irradiação do combustível a ser analisado. Assim sendo, os dados a seguir apresentados serão analisados exclusivamente sob o ponto de vista de contabilidade e caracterização isotópica das amostras em estudo não levando em consideração, pois para tanto faltam informações, aspectos físicos nucleares.

Na Tabela a seguir, e até o final deste trabalho, as amostras serão apresentadas na ordem crescente à queima sofrida. Os dados obtidos experimentalmente receberão a notação "E" e aqueles obtidos por meio do código computacional ORIGEN 2 por "O" e "D" como a diferença percentual relativa..

Na Tabelas 2 são apresentados os resultados da composição isotópica, em percentagem atômica, para os principais isótopos de cada elemento analisado.

Os resultados obtidos mostram que os valores de composição isotópica experimentais e teóricos estão em boa concordância principalmente para os isótopos majoritários dos elementos urâno e plutônio.

Para o caso dos isótopos neodímio verifica-se claramente a influência da contaminação na composição isotópica dos nuclídeos  $^{150}\text{Nd}$ ,  $^{148}\text{Nd}$ .

Para os isótopos de americíio observam-se maiores desvios provavelmente devido a imprecisão dos dados nucleares.

TABELA 2 - Composição Isotópica dos elementos  $^{235}\text{U}$ ,  $^{238}\text{U}$ ,  $^{239}\text{Pu}$ ,  $^{241}\text{Pu}$ ,  $^{148}\text{Nd}$ ,  $^{150}\text{Nd}$ ,  $^{241}\text{Am}$ ,  $^{243}\text{Am}$ .

Nº	$^{235}\text{U}$	$^{238}\text{U}$	$^{239}\text{Pu}$	$^{241}\text{Pu}$	$^{148}\text{Nd}$	$^{150}\text{Nd}$	$^{241}\text{Am}$	$^{243}\text{Am}$
744E	1,614	98,09	71,33	8,257	8,789	4,051	81,29	18,71
O	1,670	98,07	71,31	8,448	9,606	4,287	73,85	24,83
D	-3,47	0,03	-0,04	-2,31	-9,33	-5,83	9,16	-32,73
741E	1,475	98,21	68,98	9,197	9,768	7,582	73,19	26,81
O	1,485	98,22	67,86	9,539	9,633	4,352	65,40	33,36
D	-0,68	0,07	1,62	-3,71	1,38	42,6	10,64	-24,42
745E	1,074	98,54	60,43	12,21	9,024	4,267	44,18	55,82
O	1,102	98,54	60,71	11,97	9,731	4,516	45,86	53,17
D	-2,61	0,00	-0,46	1,99	-7,83	-5,83	-3,79	4,72
743E	1,049	98,57	60,05	12,27	9,054	4,258	46,74	53,27
O	1,050	98,59	59,75	12,22	9,745	4,535	43,09	55,99
D	0,010	-0,02	0,50	0,41	-7,63	-6,60	16,31	-12,67
739E	0,882	98,71	57,00	12,52	10,62	8,798	38,13	61,87
O	0,950	98,67	57,93	12,53	9,773	4,586	37,87	61,31
D	-7,71	0,41	-1,65	-1,72	7,97	47,87	0,68	0,91
740E	0,803	98,79	54,80	13,29	9,150	4,320	20,17	69,28
O	0,812	98,79	55,47	13,36	9,816	4,656	30,82	68,48
D	0,98	0,00	-1,22	-0,53	-7,27	-7,78	-0,35	1,16
742E	0,800	98,78	54,91	13,20	9,017	4,250	37,96	62,04
O	0,815	98,79	55,53	13,34	9,815	4,654	30,98	68,32
D	-1,88	-0,01	-1,12	-1,06	-8,85	-9,51	18,39	10,13
747E	0,530	99,05	50,68	13,66	9,241	4,420	30,88	69,12
O	0,533	99,06	51,05	14,51	10,01	4,886	18,58	80,97
D	-5,47	-0,08	0,74	-6,21	-8,32	-10,5	39,83	-17,14

Nas Tabela 3 são apresentados os valores de concentração isotópica dos nuclídeos de interesse em gramas por tonelada de combustível.

Assim como no caso anterior os valores teóricos e experimentais de concentração isotópica estão em boa concordância entre si. Para o caso dos isótopos de urâno e plutônio os valores encontrados estão de acordo com aqueles obtidos por Croff [12] quando da análise de amostras pertencentes aos reatores Turkey, Point Unit H.B. Robinson Unit 2 e Barberoe colaboradores [13] quando da análise de amostras pertencentes ao reator Trinno Vercellese.

Para o caso dos isótopos de americíio com utilização da técnica de diluição isotópica aplicada a espectrometria de massa, os desvios percentuais relativos aos dados experimentais foram de cerca de 5,5% para nuclídeo  $^{241}\text{Am}$  e cerca de 8% para o nuclídeo  $^{243}\text{Am}$ , para as amostras pertencentes ao elemento combustível BE-120. Para o

elemento combustível BE-124 esta diferença foi de cerca de 11% e 28% para os nuclídeos  $^{242}\text{Am}$  e  $^{243}\text{Am}$ , respectivamente.

Para o nuclídeo  $^{241}\text{Am}$  o desvio médio percentual relativo aumenta para cerca de 17% a 41%, para as amostras BE-120 e BE-124, respectivamente, quando da correção da concentração isotópica para a data de parada do reator. Estes valores demonstram claramente a influência da concentração do nuclídeo  $^{241}\text{Pu}$  e dos dados nucleares no cálculo teórico da formação do nuclídeo  $^{241}\text{Am}$ .

TABELA 3 - Concentração. Isotópica dos elementos  $^{235}\text{U}$ ,  $^{238}\text{U}$ ,  $^{239}\text{Pu}$ ,  $^{241}\text{Pu}$ ,  $^{148}\text{Nd}$ ,  $^{150}\text{Nd}$ ,  $^{241}\text{Am}$ ,  $^{243}\text{Am}$ .

Nº	$^{235}\text{U}$ $\times 10^3$	$^{238}\text{U}$ $\times 10^5$	$^{239}\text{Pu}$ $\times 10^2$	$^{241}\text{Pu}$ $\times 10^2$	$^{148}\text{Nd}$ $\times 10^2$	$^{150}\text{Nd}$ $\times 10^2$	$^{241}\text{Am}$ $\times 10^2$	$^{243}\text{Am}$ $\times 10^2$
744E	13,94	8,484	34,70	4,078	1,529	0,714	0,193	0,052
O	14,22	8,456	36,97	4,414	1,523	0,689	0,160	0,054
D(%)	-2,01	0,33	-6,54	-8,24	0,39	3,50	17,1	-3,85
741E	12,47	8,310	38,51	5,094	1,774	1,648	0,256	0,092
O	12,60	8,438	39,23	5,561	1,797	0,823	0,202	0,104
D(%)	-1,03	-1,54	-1,86	-9,16	-1,13	50,1	21,1	-13,0
745E	9,119	8,378	43,38	8,834	2,450	1,174	0,365	0,369
O	9,271	8,392	42,35	8,423	2,456	1,155	0,282	0,329
D(%)	-1,67	-0,17	2,37	4,65	-0,24	1,62	22,7	10,8
743E	8,859	8,343	44,62	9,195	2,543	1,212	0,355	0,421
O	8,817	8,385	42,67	8,800	2,558	1,207	0,293	0,379
D(%)	0,47	-0,50	4,37	4,30	-6,60	-0,4	17,5	9,98
739E	7,487	8,413	40,47	9,068	2,773	3,161	0,340	0,516
O	7,954	8,370	43,20	9,572	2,763	1,314	0,304	0,496
D(%)	-6,23	0,51	-6,76	-7,54	0,36	58,4	10,6	3,87
740E	6,676	8,229	42,80	10,32	3,031	1,451	0,360	0,707
O	6,771	8,346	43,84	10,65	3,075	1,478	0,319	0,715
D(%)	-1,42	-1,42	-2,43	-3,18	-1,45	-1,86	11,4	-1,13
742E	6,637	8,310	43,96	10,67	3,052	1,458	0,465	0,778
O	6,798	8,347	43,83	10,62	3,068	1,474	0,319	0,709
D(%)	-2,43	-0,45	0,30	-0,45	-0,52	-1,10	31,4	8,87
747E	4,422	8,271	39,38	10,74	3,647	1,768	0,540	1,088
O	4,414	8,306	44,55	12,77	3,663	1,811	0,317	1,391
D(%)	0,18	-0,42	-13,2	-18,9	-0,44	-2,43	41,3	-27,8

## CONCLUSÕES

Verificou-se neste trabalho que mesmo na ausência de dados mais precisos sobre o histórico de irradiação das amostras em estudo a utilização do código computacional ORIGEN2 apresentou resultados satisfatórios, quando comparados aos dados experimentais, na avaliação da composição e concentração isotópica principalmente para os isótopos majoritários de urânio, plutônio, americio e neodímio o que comprova a utilidade destes códigos na avaliação da queima e inventário isotópico em combustíveis nucleares irradiados.

## REFERÊNCIAS

[ 1 ] CROFF, A.G. ORIGEN2 - a revised and update version of the Oak Ridge isotope generation and

depletion code. Oak Ridge, Tenn., Oak Ridge National Lab., July, 1980 (ORNL-5621).

[ 2 ] BELL, M.J. Origem - The ORNL isotope generation and depletion code. Oak Ridge National Lab., May, 1973 (ORNL-4628).

[ 3 ] JENDF/B - V Library tapes 514-521 and 522, available from the national neutron cross section center. Upton, Brookhaven National Lab., July 1979 apud CROFF, A.G. ORIGEN2: a revised and update version of origem. Trans.Am. Nuclear Soc., 34: 349-50, 1980

[ 4 ] ENDF/B - IV Library tapes 401-411 and 414-419, available from the national neutron cross section center. Upton, Brookhaven National Lab., Dec. 1974 apud CROFF, A.G. ORIGEN2: a revised and update version of origem. Trans.Am. Nuclear Soc., 34:349-50, 1980.

[ 5 ] GREENE, N.M.; LUCIUS, J.L.; PETRIE, L.M.; FORD III, W.E.; WHITE, J.E.; WRIGHT, R.Q. AMPX: a modular code system for generating complet multigroup neutro-gamma libraries from ENDF/B. Oak Ridge, Tenn., Oak Ridge National Lab., Mar 1976 [ORNL/TM-3706] apud CROFF,A.G. ORIGEN2: a revised and update version of origem. Trans.Am.Nucle.Soc., 34:349-50, 1980.

[ 6 ] FOWLER, T.B.; VONDY, D.R.; CUNNINGHAM, G.W. Nuclear reactor core analysis code: citation. Oak Ridge, Tenn., Oak Ridge National Lab., July 1971 (ORNL/TM-2496 REV.2) apud CROFF, A.G. ORIGEN2: a revised and update version of origem. Trans.Am.Nucl.Soc., 34:349-50, 1980.

[ 7 ] CROFF, A.G. ORIGEN2: a versatile computer code for calculating the nuclide compositions and characteristics of nuclear materials. Nucl. Technol., 62(9):335-52, 1983.

[ 8 ] KOMMISSION DER EUROPÄISCHEN GEMEINSCHAFTEN. Kernkraftwerk Obrigheim: Jahresbericht 1973. Brussels, Dec. 1974 (EUR-5315d).

[ 9 ] SARKIS , JORGE EDUARDO DE S. ; RODRIGUES C. Determinação da Queima em Combustíveis Nucleares Irradiados por meio da Medida do Produto DE Fissão  $^{137}\text{Cs}$ . Neste congresso

[10], W.B.; LABAUVE, R.J.; ENGLAND, T.R. Calculations of spent thermal reactor fuel nuclide inventories and comparisons with measurements. Palo Alto, Electric Power Research Inst., 1983 (EPRI-N-28885).

[11] CROFF, A.G. Comparison of experimentally determined spent fuel compositions with ORIGEN2 calculations. Trans.Am.Nucl. Soc., 39:215-17, 1981.

[ 13 ] BARBERO, P.; BIDOGLIO, G.; BRESESTI, M.; CHEVALIER, R; D'ADAMO, D. Post irradiation of the fuel discharged from the Trino Vercellese reactor after the 2nd irradiation cycle. Ispra, Commission of the European Communities, Mar. 1977. (EUR 5605).

## ABSTRACT

The ORIGEN2 computer code is widely used for calculating nuclide depletion and production during the irradiation of nuclear fuels . In the present work it will be presented a comparison between the evaluation of the isotope content in eight nuclear irradiated samples obtained by ORIGEN2 code against spent-fuel radiochemistry measurements .